

900MHz대 FDD 방식을 이용한 船內用 Tranceiver에 관한 研究

김정년^{*} 조학현^{*} 송면규^{**} 김기문^{**}
목포해양대학교^{*}, 한국해양대학교^{**}
E-mail: mmukjn@mail.mmu.ac.kr

A Study on the 900MHz FDD Tranceiver for the Vessel

Jeong-Nyun Kim^{*}, Hak-Hyun Jo^{*}, Myun-Kyu Song^{**}, Ki-Moon Kim^{**}

Abstract

The portable two way radio telephone amongst GMDSS equipment in the vessel is very important portable wireless one for search and rescue in distress situation.

Although the portable two way radio telephone must be equipped with in the vessel by IMO RR, other kinds of wireless tranceivers are widely used to communicate with crew members who are separately appointed at bridge forecastle and poop in leaving or arriving at the port, passing through a narrow canal or voyaging in the foggy weather.

Most of those wireless tranceivers except portable two way radio telephone are allocated at 27MHz band with PTT simplex system that makes crew members difficult to work effectively in the vessel.

In this research 900MHz band FDD(frequency duplex division) tranceiver system is studied to help crew members in the vessel to communicate with themselves freely and to work easily meanwhile with simple operation.

900MHz band FDD tranceiver system uses one chip FM frontend IC to realize the miniaturization and downsizing of tranceiver and small size head set attached to helmet.

The credibility of this research's result is highly evaluated by circuit analysis with computer aided simulation, and partly modified 900MHz band cordless phone circuit.

I .서론

GMDSS 장비중 2-way VHF는 선박내의 무선송수신장치로써의 역할 뿐 아니라 조난시에 수색 및 구조의 휴대용 무선통신기로 매우 중요한 장비이다.[1]

2-way VHF가 IMO 및 RR에 의하여 의무적으로 선박에 탑재하도록 되어있으나, 실제로 선박의 입출항때나 협수로 통과 및 무중 항해시에는 선교와 선수, 선미의 통신수단으로 27MHz대의 Tranceiv

-er가 사용되며 이것은 PTT 단신방식이므로 승무원들이 선내에서 효율적으로 작업하기가 힘들다.

그러므로 본 논문에서는 900MHz FDD 방식의 Tranceiver 시스템을 연구함으로써 승무원들간에 통신을 하면서 동시에 작업을 용이하게 할 수 있도록 구현하였다.

900MHz FDD 방식의 Tranceiver 시스템에서는 one chip FM frontend IC를 사용하여 소형 경량화 하였으며 작업모드에 head set을 부착하였다.

컴퓨터 시뮬레이션에 의한 특성 분석과 900MHz

대 무선전화기를 개조하여 실험함으로써 연구의 신뢰성을 높였다.

II. 기본설계 개념

900MHz대 Tranceiver는 FDD방식을 이용한 것이므로 정통부 고시 제1993-19호의 무선설비규칙에 의하여야 한다. 따라서 선내용 Tranceiver의 설계개요 및 기술적 특성은 다음과 같다.[2]

채널	송신주파수(MHz)	채널	송신주파수(MHz)
휴대장치	고정장치	휴대장치	고정장치
1	914.0125	21	914.5125
2	914.0375	22	914.5375
3	914.0625	23	914.5625
4	914.0875	24	914.5875
5	914.1125	25	914.6125
6	914.1375	25	914.6375
7	914.1625	27	914.6625
8	914.1875	28	914.6875
9	914.2125	29	914.7125
10	914.2375	30	914.7375
11	914.2625	31	914.7625
12	914.2875	32	914.7875
13	914.3125	33	914.8125
14	914.3375	34	914.8375
15	914.3625	35	914.8625
16	914.3875	36	914.8875
17	914.4125	37	914.9125
18	914.4375	38	914.9375
19	914.4625	39	914.9625
20	914.4875	40	914.9875

<표 2-1> 채널별 송신주파수

2.1 일반적 조건

900MHz대 Tranceiver는 정통부에서 정하는 기본형 코드없는 전화기 “2형”으로 구분되며 그 일반적 조건은 다음과 같다.[2]

- ① <표2-1>에 나타난 것처럼 40개의 통화 채널을 실장하여야 한다.
- ② 다른 사람이 사용하는 장치로부터 혼신등에 의하여 통화의 방해를 받는 경우에는 수동제어에 의하여 사용하지 않는 통화 채널로 자동 전환

될 수 있어야 한다.

- ③ 내부회로의 개조방지를 위하여 코드없는 전화 기를 일반적 공구로 쉽게 개방할 수 없는 구조 이어야 한다.
- ④ 휴대장치는 고정장치를 통하지 않고는 다른 기기와 직접통화 할 수 없어야 한다.

2.2 통화채널 점유절차

2.2.1 사용대기

고정 및 휴대장치의 각 수신기는 미사용 통화채널을 계속적으로 탐색할 수 있어야 한다.

2.2.2 호출

- ① 고정 및 휴대장치는 미사용 무선통화채널을 선정할 수 있어야 한다.
- ② 미사용 무선통화채널을 선정한 당해 장치의 송신기는 자체의 호출명칭을 포함한 통화개시 신호를 송출할 수 있어야 한다.
- ③ 통화개시 신호를 검출한 수신기는 미사용 무선통화채널에 대한 탐색을 중단하고 자체의 호출명칭이 포함된 응답신호를 송출할 수 있어야 한다.
- ④ 응답신호를 검출한 장치는 개시신호의 송출을 중단하고 고정장치와 휴대장치간에 무선통화채널을 연결한 후 다이얼 톤 및 통화신호를 전송할 수 있어야 한다.

2.2.3 통화

① 통화중 무선통화채널의 연결상태를 확인하기 위하여 고정 및 휴대장치간에 호출명령을 송신하게 할 수 있다.

- ② 통화중 통화품질 유지 및 개선을 위하여 타 장치에 위해를 주지 않는 범위 내에서 통화의 단절 없이 계속적으로 통화가 이루어질 수 있도록 할 수 있다. 단, 이 경우 한 개의 구성 장치 내에서만 통화가 이루어져야 한다.

2.2.4 통화종료

통화를 마친후 각 장치는 자체 고유호출명칭을 포함한 통화 종료 신호를 송출하고 다음 통화를 위한 사용대기 상태로 전환될 수 있어야 한다.

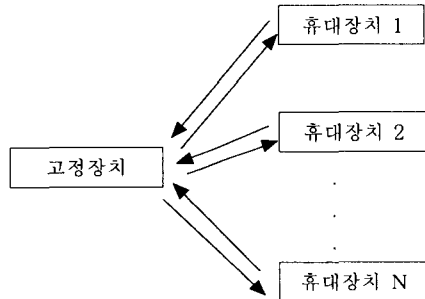
2.3 기술적 조건

- ① 고정장치 및 휴대장치의 공중선전력은 10밀리와트 이하이어야 한다.
- ② 주파수 허용편자는 2.7×10^{-6} 이하이어야 한다.
- ③ 점유주파수 대역폭은 16kHz 이하이어야 한다.
- ④ 스피리어스 발사강도는 기본주파수의 평균전력 보다 55데시벨 이상 낮은 값이라야 한다.
- ⑤ 최대 주파수편이는 $\pm 5\text{kHz}$ 이하이어야 한다.

III. 세부설계

3.1 기본 블록다이아그램

3.1.1 시스템 블록다이아그램



<그림 3-1> 시스템 블록다이아그램

하나의 고정장치에 하나의 송수신장치가 실장되어 다수의 휴대장치를 접속할 수 있는 형태로 <그림 3-1>과 같다.

3.1.2 회로도 블록다이아그램

PLL에 의해 채널제어를 했으며 전체적인 회로도는 <그림 3-2>와 같다.

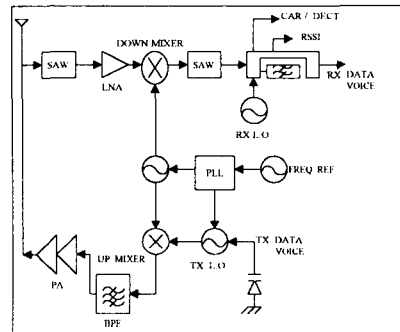
3.2 각부의 기능 및 특성

3.2.1 수신부

- ① LNA 단: MRFIC2008의 내부 LNA 단을 사용하였다.
- ② MIXER 단: 수신되는 주파수와 국부발진주파수를 혼합하여 희망하는 주파수를 얻는 단으로

Gilbert cell mixer을 사용하여 수동 mixer보다 약 10내지 20dB의 이득을 갖는다.

- ③ SAW FILTER 단: Filter를 SAW FILTER를 사용함으로써 일반적인 Lump Element(RCL) filter 보다 선택도가 매우 우수하며 PCB 실장에 있어 System의 경박단소화를 구현하였다.
- ④ L.O. 단: 수신되는 주파수에 대하여 희망하는 주파수를 얻기 위해 국부발진주파수를 사용하는데 제 1 국부발진은 PLL 제어 방식을 이용하였고 제 2 국부발진부는 X-tal을 이용한 2채배 방식을 이용하였다.
- ⑤ IF 단: 제 2 국부발진주파수와 혼합하여 10.7MHz의 주파수를 Down converting 하여 455kHz의 Quad 주파수로 변환하는데 Motorola사의 MC13156DW를 사용하였다.
- ⑥ Demodulation 단: 455kHz Quad 단에서 455kHz 기본발진파에 대하여 변조된 만큼의 편이주파수(음성이나 data)를 복조해내는 곳으로 본회로에서 사용한 IC에는 Quad에서 얻어진 편이신호를 내부 OP AMP를 사용하여 증폭하였으며 주변 C.R 소자를 사용하여 3kHz 대역의 Active Low pass filter로 구성하였다.



<그림 3-2> 회로도 블록다이아그램

Main L.O. = 809.0125~809.9875MHz

TX L.O. = 105MHz Fixed

Main L.O. amplitude = -7dBm 이상

TX L.O. amplitude = -7dBm 이상

TX DATA/VOICE FM deviation = 3kHz(NBFM)

3.2.2 송신부

- ①PA 단: 실재적으로 RF신호를 송출하는 종단 전력증폭단으로써 본회로에 사용된 IC는 약 40dB의 증폭도를 가지며 이중 30dB는 가변이 가능하다.
- ②MIXER 단: 국부발진주파수와 변조된 신호 반송파를 혼합하여 그 합 주파수를 얻어낸다.(up converter 역할을 해준다) 약 6dB의 이득을 갖는다.
- ③LO 단: 송신되는 주파수에 대하여 회망하는 주파수를 얻기 위해 국부발진주파수를 사용하는 테 국부발진은 PLL제어 방식을 이용하였다.
- ④변조단: 국부 발진단에 Varactor Diode를 이용한 FM 직변조 방식을 사용하였다.[3]

3.2.3 주파수 합성부

일반적으로 LC발진기는 X-tal 발진기보다 안정도가 떨어지나 PLL 제어 방식을 이용하여 주위 온도나 TR의 열화에 의한 주파수 Drift를 방지한다.

LMX233X시리즈의 PLL을 사용하여 국부 발진부의 주파수 안정도를 높혔다.

PLL의 LOOP filter lock time은 25msec.이며 higher order RC filter로 구성하여 PLL charge pump 단에 대한 고주파 분자를 제거하였다.[4]

또한, 각각의 Mixer 단의 RF에 대한 S_{12} 성분의 충분한 Isolation 과 Load pull 의 문제를 해결하기위해 VCO 회로에 A급 Buffer를 추가하였다.

PLL IC는 Dual PLL이며 내부 Prescaler 내장형이며 Pulse swallow 방식을 사용하였다.

IV. 컴퓨터 시뮬레이션 및 과정 관측

4.1 Main LO와 TX LO의 시뮬레이션

발진 주파수는 <표 4-1>의 S-parameter를 modeling하여 발진 주파수를 시뮬레이션 하였다.

Freq. GHz	S11		S21		S12		S22	
	mag	ang	mag	ang	mag	ang	mag	ang
0.6	0.391	-139.3	4.852	90.9	0.086	56.0	0.468	-33.9
0.8	0.360	-159.2	3.802	81.2	0.101	59.1	0.426	-33.6
1.0	0.360	-176.9	3.098	72.9	0.118	61.0	0.397	-35.7

<표 4-1> 2SC3356의 S-parameter

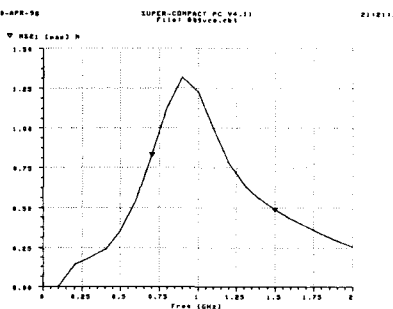
단, TR의 바이어스 조건은,

Q=2SC3356, Bias Vcc=3V, Ic=10mA, Z=50+j0Ω
Emitter grounded

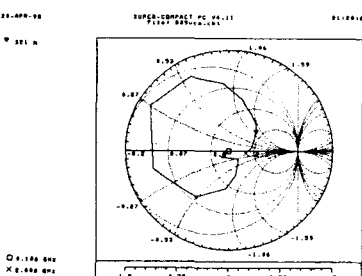
CIRCUIT TOPOLOGY

BLK

CAP 1 2 C=3pF
IND 2 0 L=6.8nH
CAP 2 3 C=3pF
TWO 3 4 5 Q
CAP 3 5 C=27pF
CAP 5 0 C=47pF
IND 3 4 L=120nH
CAP 4 6 C=82pF
M: 2POR 1 6



<그림 4-1>



<그림 4-2>

Main L.O에대한 시뮬레이션 결과는 <그림 4-1>과 <그림 4-2>와 같다.

CIRCUIT TOPOLOGY

BLK

CAP 1 2 C=82pF

IND 2 0 L=47nH

CAP 2 3 C=56pF

TWO 3 4 5 Q

CAP 3 5 C=100pF

CAP 5 0 C=100pF

IND 3 4 L=270nH

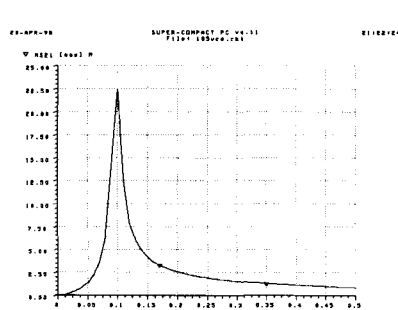
CAP 4 6 C=82pF

M: 2POR 1 6

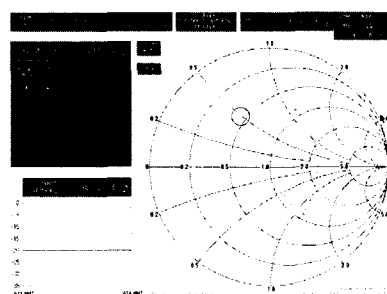
일반적으로 발진주파수를 결정하는 중요한 요소는 K factor(TR의 주파수에 대한 안정계수)와 체환 용량이다.

본 회로에서 사용된 각각의 발진부는 Super Compact(Communication Consulting Corp. Company社)를 사용하여 시뮬레이션 한 것이며, 실제회로에 있어서 PCB의 재질 및 Signal track에 대한 width 및 length가 또한 발진주파수에 영향을 미친다. 따라서 실제회로구성에 있어서 각각 소자에 대한 값은 Trial & cut로 실현을 한다.[6]

4.2 SAW Filter의 matching 시뮬레이션

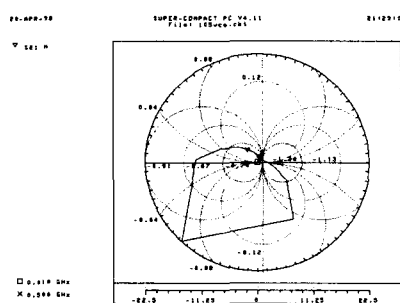


<그림 4-3>

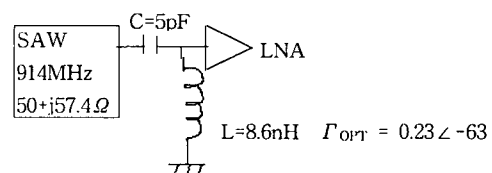


<그림 4-5> SAW filter Impedance matching

MRFIC2008의 LNA Γ_{OPT} 는 $0.23 \angle -63$ 이다. 이를 Rectangular form으로 환산하면 $56.10-j24.28$ 이며, 다시 50Ω 비정규화시키면 $1.122-j0.48$ 이 된다.[7] SAW Filter in/output impedance는 $50+j57.4$ 이며, 이를 50Ω 비정규화시키면 $1.0+j1.148$ 가 되고, 초단 SAW filter와 LNA 입력단의 Impedance 정합 시뮬레이션의 결과는 <그림 4-5>와 같다.[8]



<그림 4-4>



<그림 4-6> SAW Filter와 LNA 정합 SCHEME

TX LO에 대한 시뮬레이션 결과는 <그림 4-3>과 <그림 4-4>와 같다.[5]

중간주파수 SAW Filter(150.00MHz)와 IF MIXER 입력단의 정합요령은 위의 절차와 같다.

V. 결론

본 연구에서는 900MHz대 FDD 방식을 이용한 Tranceiver의 구현을 위한 기술적 특성의 검토 및 실제 회로도를 설계하였다.

그리고, 실제로 Art work를 함으로써 구현을 위한 모든 자료를 제작하였다.

따라서, 다음과 같이 기준에 사용되고 있는 27MHz대 단신방식에 의한 Tranceiver 운용의 불편함을 개선토록 하였다.

첫째로 높은 주파수를 사용함으로 선내에도 전파가 진행되므로 좋은 음질의 선내 통화가 가능하였고 ANT의 길이를 줄일 수 있었다.

둘째로 복신방식을 사용함으로써 송수신을 동시에 할 수 있었다.

셋째로 10mW의 소전력을 사용함으로 0.5-1W를 사용하는 27MHz대 Tranceiver보다 전력 손실이 적고 같은 전력으로 상대적 통달거리가 길어질 수 있으며 빛테리의 부피를 줄일 수 있다.

넷째로 원칩을 사용하여 장비를 소형 경량화 하였으며 칩에 내장된 RSSI 기능의 활용으로 통화권 이탈 표시의 기능을 추가하였다.

다섯 번째로 Head set을 부착하여 이용자가 통화를 하면서 작업이 가능하므로 작업효율을 높일 수 있게 되었다.

본 연구를 기초로 하여 실용성이 있는 장비를 구현하여 산업현장에 이용하면 그 효용가치는 매우 높아질 것이다.

[7] Hewlett-Packard , RF & Microwave Cad Appcad : version 1.10 , 1990.

[8] Chris Bowick , RF Circuit Design 2nd Edition SAMS : p75 ~ p.96 , 1985.

참 고 문 헌

- [1] 정보통신부 , 정통부 고시 제1993-19호 무선설비규칙 , 1993.
- [2] 김기문 , “電波關係法規解說”, 부산 : 효성출판사 , p167 , 1996.
- [3] Peter Vizmuller , RF Design Guide , Artech House : p6 ~ p40 , 1995.
- [4] Motorola , Motorola Communication Device Data , Motorola : AN 1253 , p4 ~ p45 , 1996.
- [5] Gary A. Breed, Oscillator Design Handbook, Cardiff Publishing Company : p86 ~ p87 , 1990.
- [6] 鈴木 憲次 , 高周波 回路 設計 製作 , CQ 出版社 : p10 ~ p20 , 1995.